

Introducción a la Inteligencia Artificial  
Clase 7



## Clase 7

1. Motivación
  - a. Aprendizaje No supervisado
  - b. Aplicaciones
2. Gaussian Mixture Models
  - a. Aplicaciones
  - b. Formulación

## Aprendizaje no supervisado

Machine Learning Supervisado	Machine Learning no Supervisado
Proceso aleatorio $\bar{X}, y$	Proceso aleatorio $\bar{X}$
$\hat{f}_{y/\bar{x}}(y \bar{x})?$ $\longrightarrow$ Bayes y M.V.	$\hat{f}_{\bar{x}}(\bar{x})?$ $\longrightarrow$ Bayes y M.V.
Inferencias, predicciones	Clusterización, Reducción Dimensionalidad

$\bar{X}$  datos  
y label (etiqueta)  
en supervisado podemos  
definir un concepto de  
error  $e = y - \hat{y}$

métricas de NS  $\Rightarrow$  métricas de relajación/  
equilibrio

en K-means  $U = \sigma_1^2 / \sigma_{ag}^2$

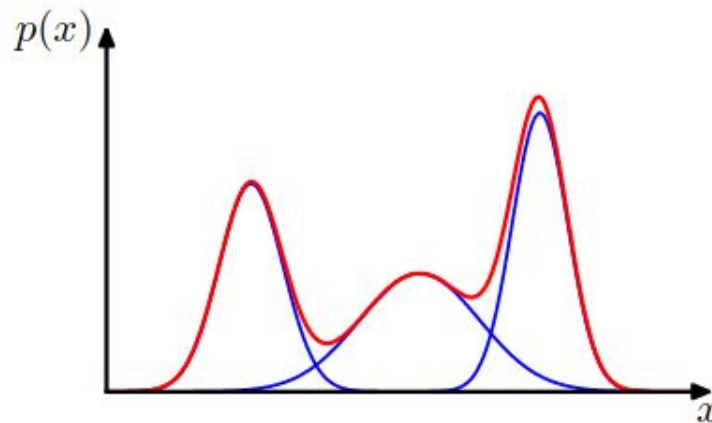
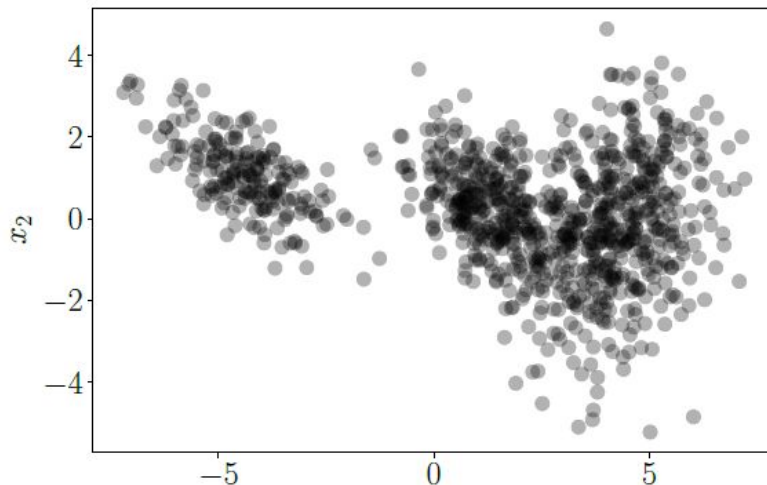
$U_{11} \sim U_{12} \sim U_{13} \sim U_{21} \sim \dots$

## Aplicaciones Generales

- Data Mining
- Pattern Recognition
- Statistical Analysis

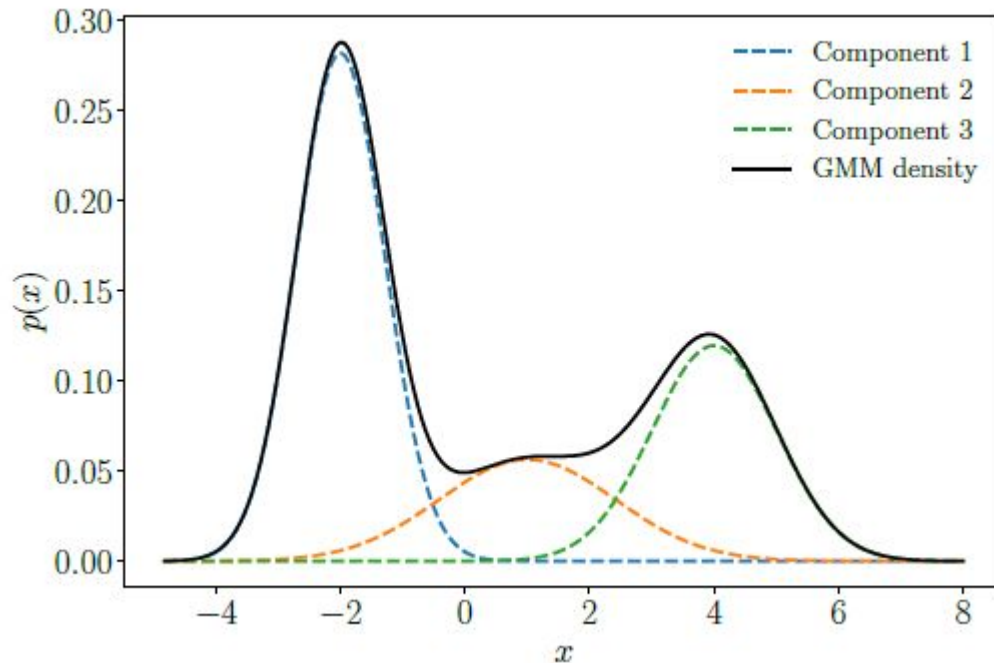
## Aplicaciones Específicas

- Density Estimation ←
- Clustering ←
- Anomaly Detection ←
- Object Tracking ←
- Speech Feature Extraction ←



## Formulación

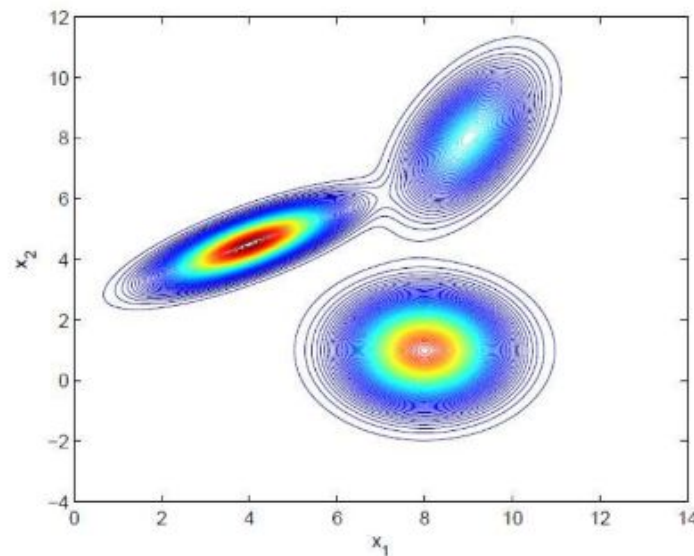
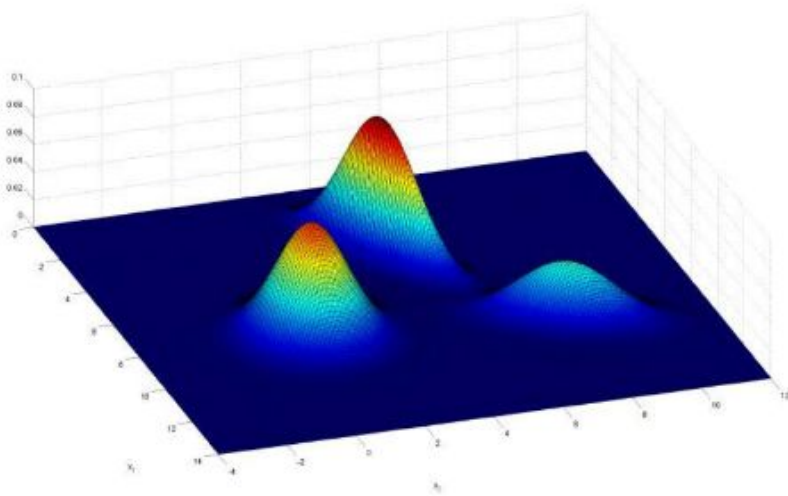
$$\phi(x|\hat{\theta}) = \sum_{i=1}^N \lambda_i \mathcal{N}(x|\mu_i, \sigma_i^2)$$



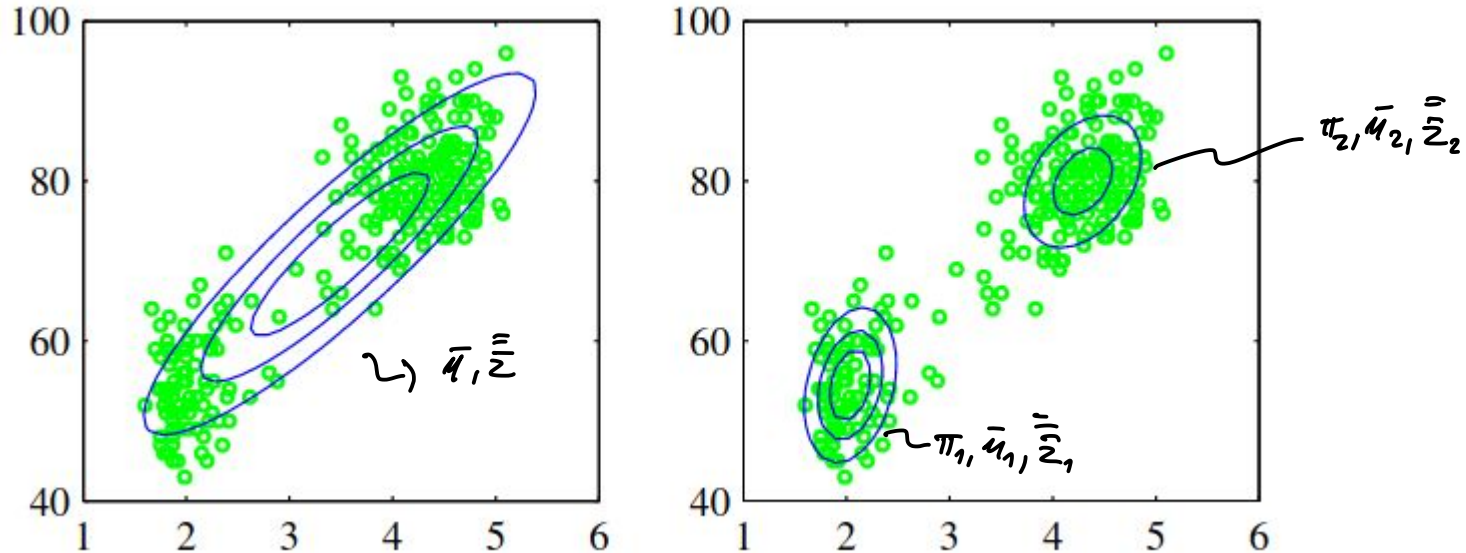
$$p(x|\theta) = 0.5\mathcal{N}(x|-2, \frac{1}{2}) + 0.2\mathcal{N}(x|1, 2) + 0.3\mathcal{N}(x|4, 1)$$

## Formulación

$$p(x) = \underbrace{0.3}_{\pi_1} \mathcal{N}\left(x \mid \underbrace{\begin{pmatrix} 4 \\ 4.5 \end{pmatrix}}_{\mu_1}, \underbrace{\begin{pmatrix} 1.2 & 0.6 \\ 0.6 & 0.5 \end{pmatrix}}_{\Sigma_1}\right) + \underbrace{0.5}_{\pi_2} \mathcal{N}\left(x \mid \underbrace{\begin{pmatrix} 8 \\ 1 \end{pmatrix}}_{\mu_2}, \underbrace{\begin{pmatrix} 1 & 0 \\ 0 & 1 \end{pmatrix}}_{\Sigma_2}\right) + \underbrace{0.2}_{\pi_3} \mathcal{N}\left(x \mid \underbrace{\begin{pmatrix} 9 \\ 8 \end{pmatrix}}_{\mu_3}, \underbrace{\begin{pmatrix} 0.6 & 0.5 \\ 0.5 & 1.5 \end{pmatrix}}_{\Sigma_3}\right)$$

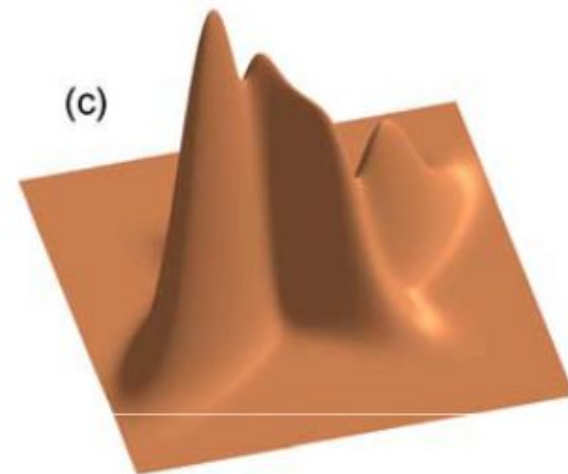
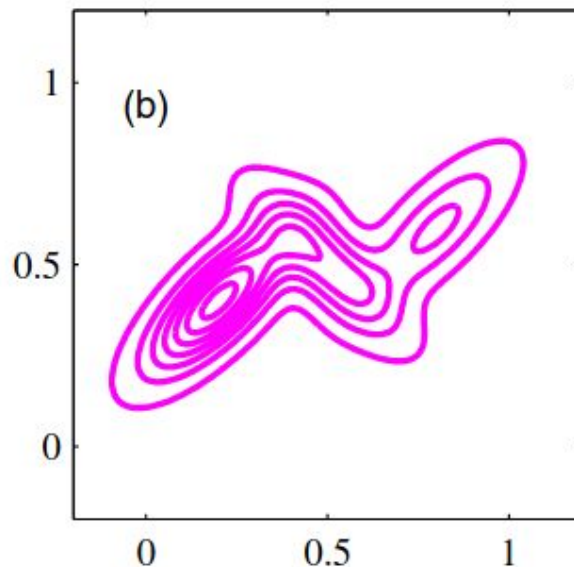
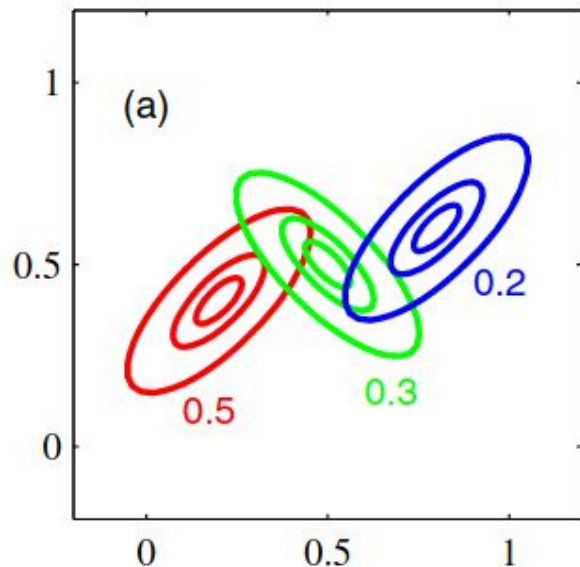


## Gaussian Mixture Models: Estudio de fenómenos naturales



**“Old Faithful” dataset.** 272 mediciones de erupciones del “Old Faithful” geyser en el Parque Nacional Yellowstone. El eje horizontal representa la duración de una erupción (medida en minutos) y el vertical el tiempo hasta la próxima erupción.

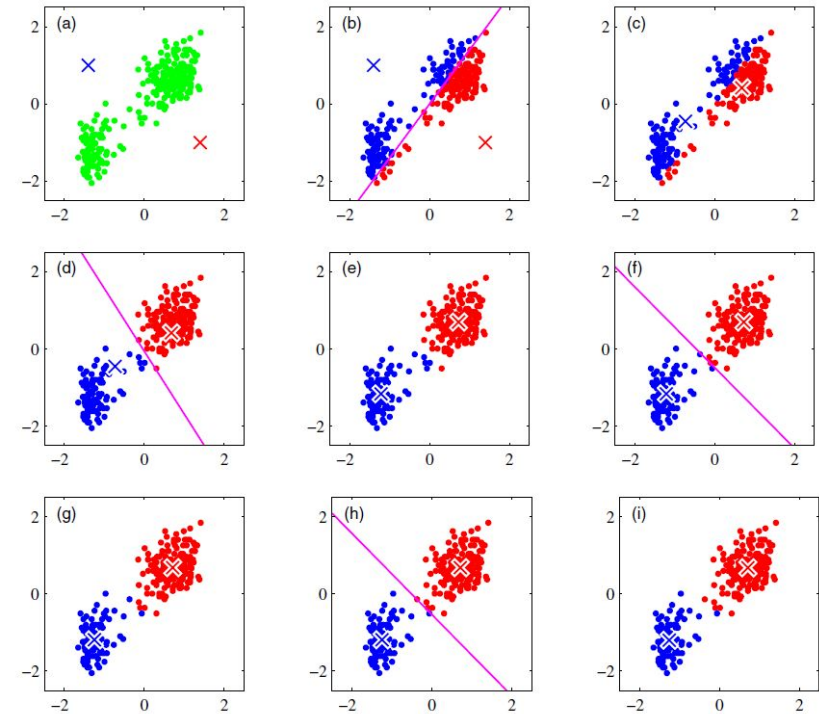
## Gaussian Mixture Models: Clustering



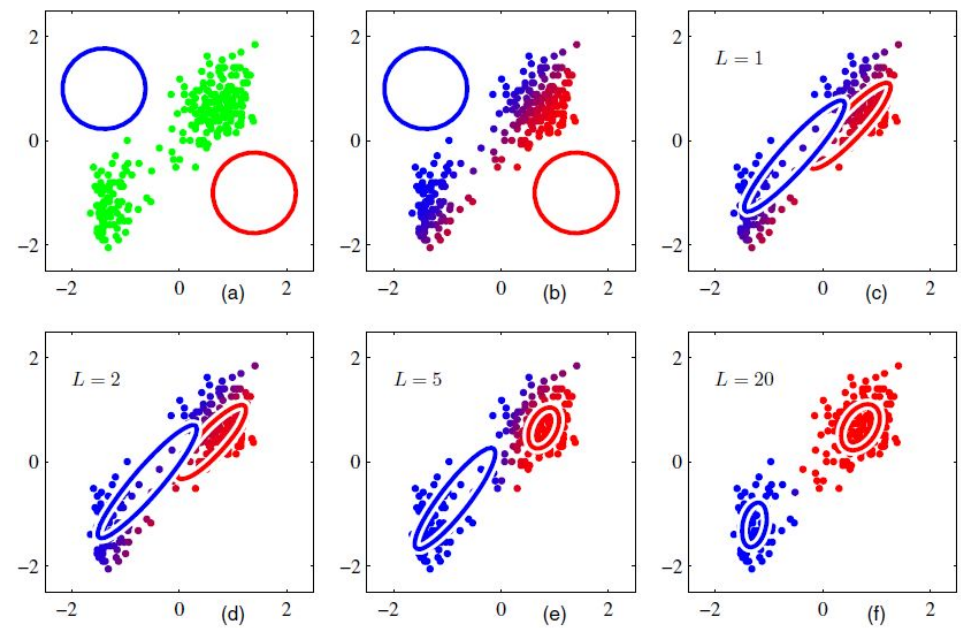
Ejemplo de Gaussian Mixture. En la imagen (a) se muestran las tres distribuciones subyacentes indicando con colores sus variables latentes. En la imagen (b) las curvas de nivel de la distribución conjunta y en la (c) la densidad.



## Gaussian Mixture Models: Clustering

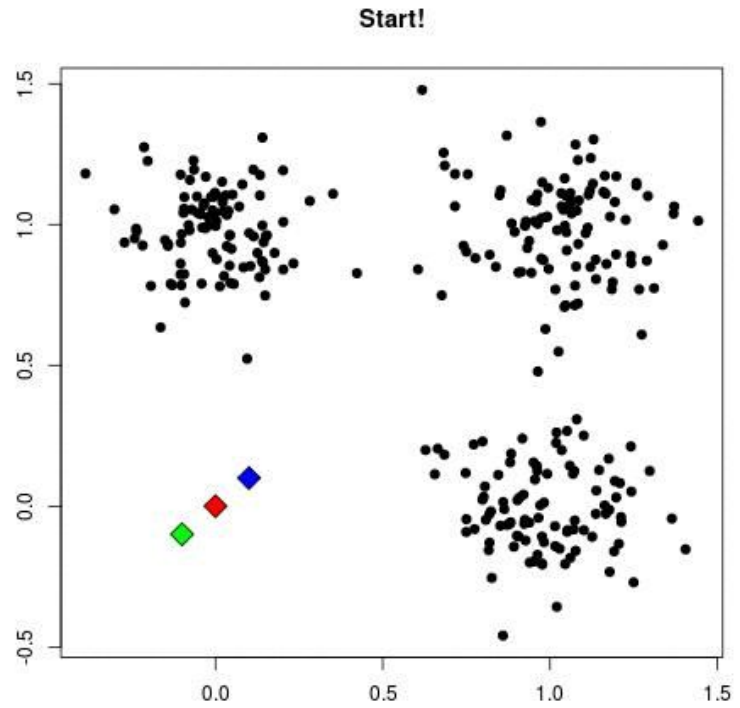


KMeans

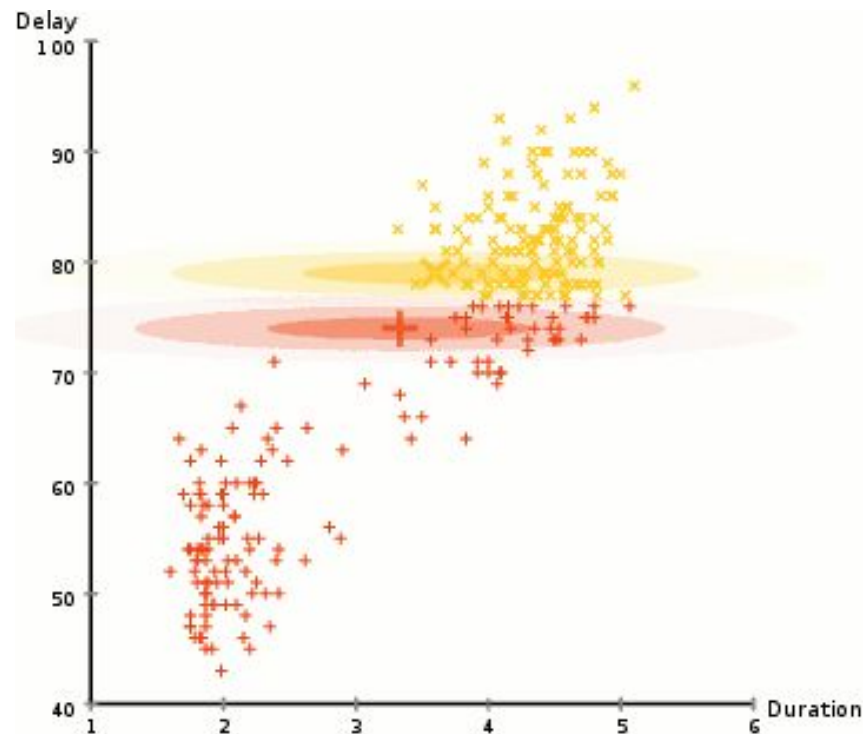


GMM

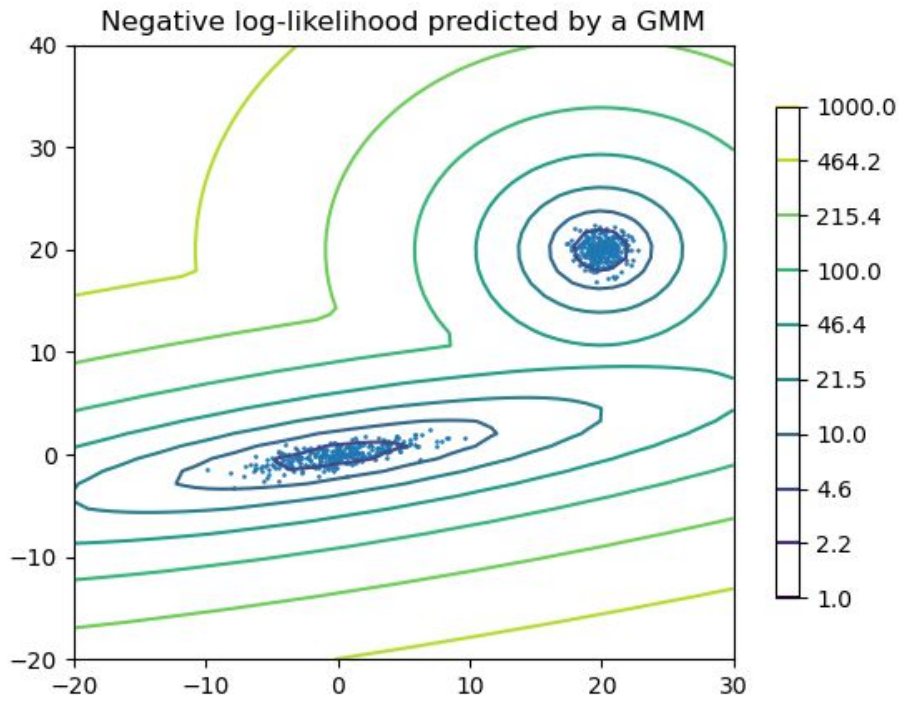
## Gaussian Mixture Models - kMeans



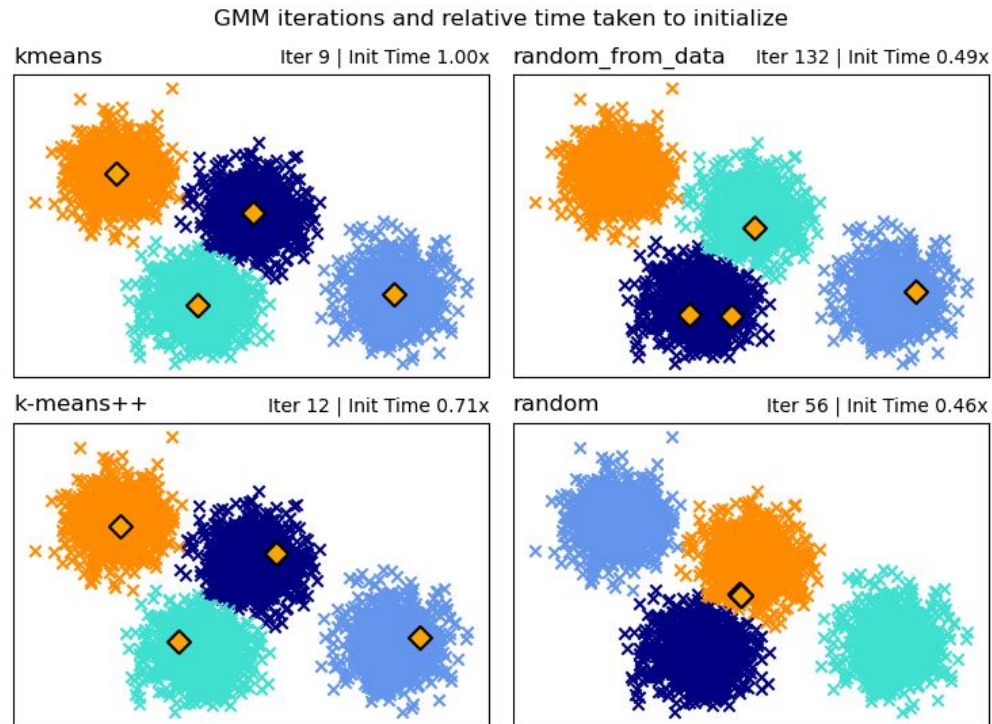
## Gaussian Mixture Models: Clustering



## Gaussian Mixture Models: Detección de anomalías



## Gaussian Mixture Models: Inicialización



## Formulación

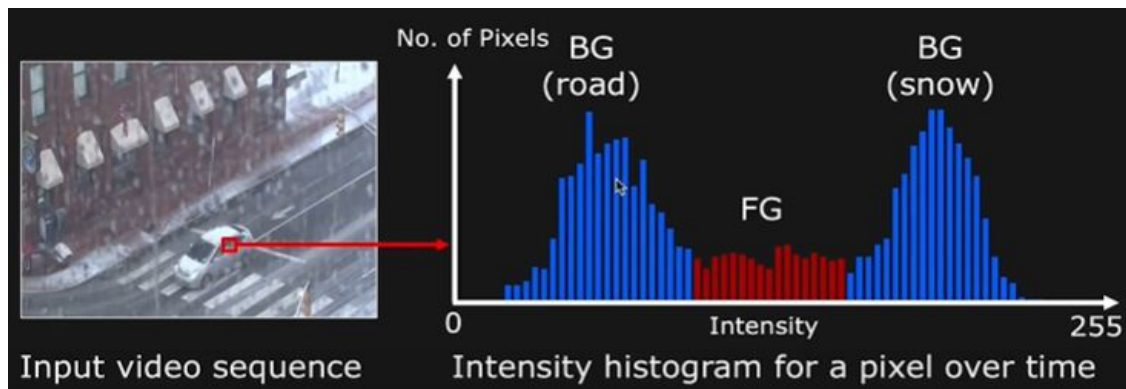
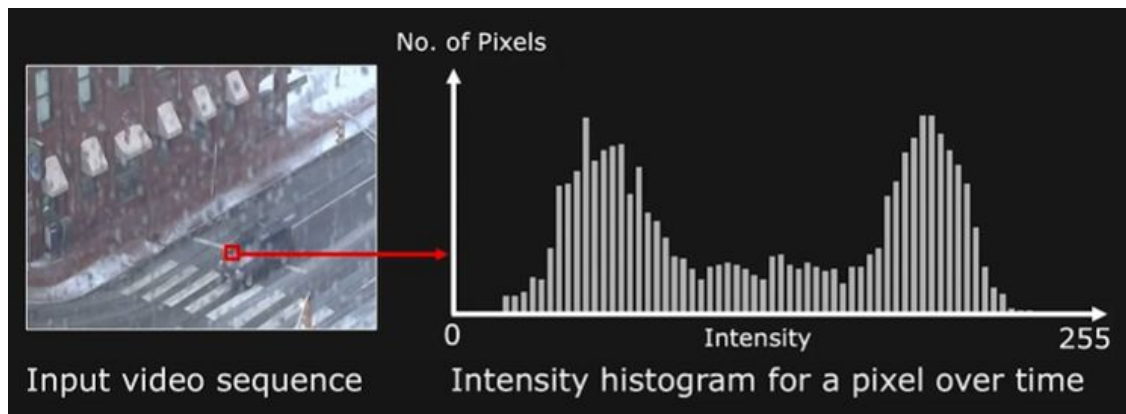
$$p(\mathbf{x}) = \sum_{k=1}^K \pi_k p_k(\mathbf{x})$$
$$0 \leq \pi_k \leq 1, \quad \sum_{k=1}^K \pi_k = 1,$$

**Mixture Models - General**

$$p(\mathbf{x} | \boldsymbol{\theta}) = \sum_{k=1}^K \pi_k \mathcal{N}(\mathbf{x} | \boldsymbol{\mu}_k, \boldsymbol{\Sigma}_k)$$
$$0 \leq \pi_k \leq 1, \quad \sum_{k=1}^K \pi_k = 1,$$
$$\boldsymbol{\theta} := \{\boldsymbol{\mu}_k, \boldsymbol{\Sigma}_k, \pi_k : k = 1, \dots, K\}$$

**Gaussian Mixture Models**

## Gaussian Mixture Models - Object Tracking



## Gaussian Mixture Models - Object Tracking

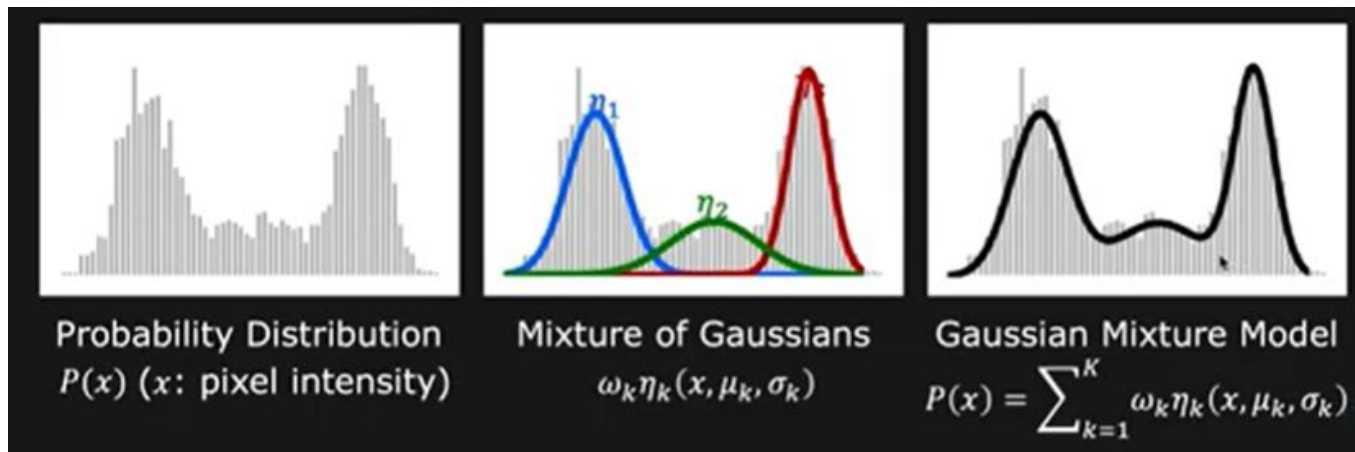
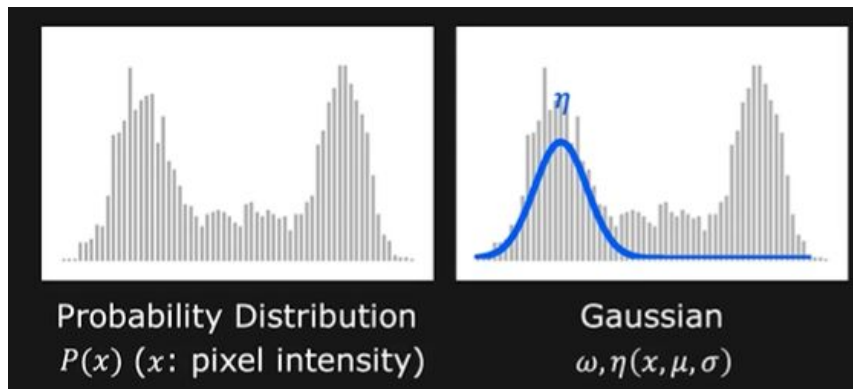
$$P(\mathbf{X}) \cong \sum_{k=1}^K \omega_k \eta_k(\mathbf{X}, \boldsymbol{\mu}_k, \boldsymbol{\Sigma}_k) \quad \text{such that} \quad \sum_{k=1}^K \omega_k = 1$$

where:  $\eta(\mathbf{X}, \boldsymbol{\mu}, \boldsymbol{\Sigma}) = \frac{1}{(2\pi)^{D/2} |\boldsymbol{\Sigma}|^{1/2}} e^{-\frac{1}{2}(\mathbf{X}-\boldsymbol{\mu})^T (\boldsymbol{\Sigma})^{-1} (\mathbf{X}-\boldsymbol{\mu})}$

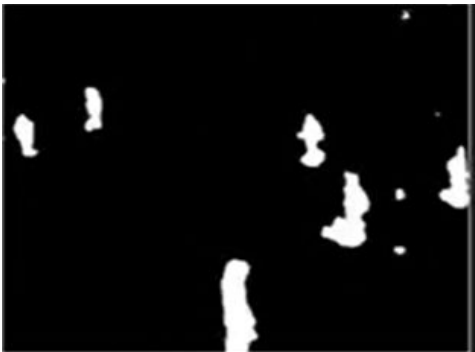
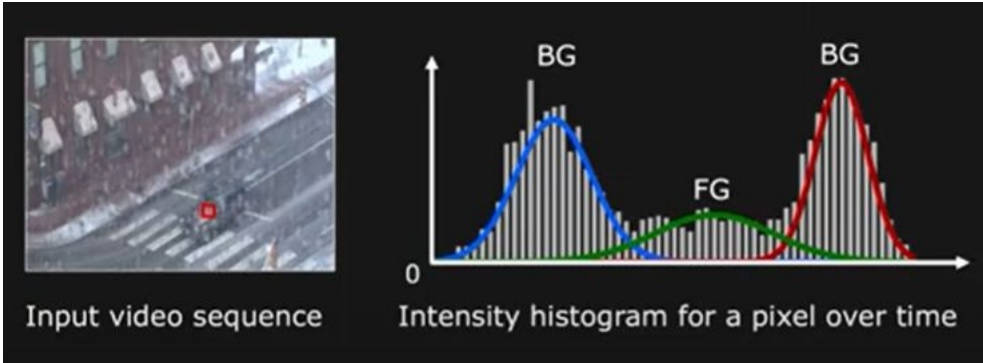
Mean  $\boldsymbol{\mu} = \begin{bmatrix} \mu_r \\ \mu_g \\ \mu_b \end{bmatrix}$  Covariance matrix  $\boldsymbol{\Sigma} = \begin{bmatrix} \sigma^2 & 0 & 0 \\ 0 & \sigma^2 & 0 \\ 0 & 0 & \sigma^2 \end{bmatrix}$  (can be a full matrix)



## Gaussian Mixture Models - Object Tracking



## Gaussian Mixture Models - Object Tracking



$\uparrow$   
 $\frac{\omega}{\sigma}$   
Background

$\downarrow$   
 $\frac{\omega}{\sigma}$   
Foreground

**GMM y EM - JAMBOARD**

K means:

Tenemos de un dataset  $D = \{X_1, \dots, X_n\}$   $X_i \in \mathbb{R} \rightarrow$  Queremos encontrar  $K$  clusters que modelen a  $D$ .

$\mu_k, k = \{1, 2, \dots, K\}$  que los llamamos centroides. Encontrar  $\mu_k$  y asignar a  $x_i$  minimizando la perdida:

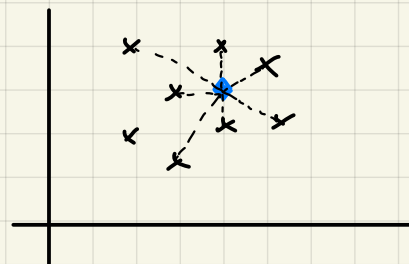
$$r_{nk} = \begin{cases} 1 & \text{si } x_n \in K \\ 0 & \text{ow.} \end{cases}$$

$\Rightarrow$  mi matriz de "labels"

$$\Rightarrow \begin{matrix} & \mu_k \\ \begin{bmatrix} 1 & 0 & \dots \\ 1 & 0 & \dots \\ 0 & 1 & \dots \\ \vdots & \vdots & \dots \end{bmatrix} & \left. \vphantom{\begin{bmatrix} 1 \\ 1 \\ 0 \\ \vdots \end{bmatrix}} \right\} x_i$$

$$J = \sum_n \sum_k r_{nk} \|x_n - \mu_k\|^2$$

Pasos a seguir:



1 - inicializamos centroides.

2 - Asignar los puntos según distancia  $\Rightarrow$  minimizar  $J$  respecto a  $r_{nk}$  manteniendo  $\mu_k$  fijos.

3 - minimizar  $J$  respecto a  $\mu_k$ , fijando  $r_{nk}$  (Actualización de centroides)

$$\mu_k = \frac{1}{\sum_n r_{nk}} \cdot \sum_n r_{nk} x_k = \frac{\sum_{n|x_n \in K} x_n}{N_k} \cdot \frac{1}{N_k}$$

Primera variación  $\rightarrow$  dist euclidea

$$\tilde{J} = \sum_n \sum_k r_{nk} \cdot N(x_n, \mu_k)$$

$K$ -medoids ;  $K$ -proto

## Gaussian Mixture Model (GMM)

$$p(x) \sim \sum_k \pi_k \cdot \mathcal{N}(x | \mu_k, \sigma_k) ; \sum_k \pi_k = 1$$

Consideramos  $z$  VA.  $z_k \in \{0, 1\}$   $\wedge$   $\sum_k z_k = 1$

Definimos la conjunta  $P(x, z) = P(x|z) P(z)$

$$P(z_k = 1) = \pi_k \rightarrow \text{prob. del centro } k \Rightarrow \sum \pi_k = 1$$

$P(x/z_k) \sim \mathcal{N}(\mu_k, \bar{z}_k) \rightarrow$  según  $k$  la distrib. cambia.

la distrib. observada  $\Rightarrow p(x) = \sum \pi_k \cdot \mathcal{N}(\mu_k, \bar{z}_k)$

tenemos de dato  $\rightarrow$  conjunta  $P(x, z) = P(x|z) P(z)$   
 $\rightarrow$  marginal de  $z$   $P(z) = [\pi_1, \pi_2, \dots, \pi_K]$   
 $\rightarrow$  ① conel.  $P(x|z) \sim \mathcal{N}$   
 $\rightarrow$  marg de  $x$   $P(x) = \sum \dots$

Partimos de la conel. ①:

$$\gamma(z_k) = p(z_k=1|x) = \frac{P(z_k=1) \cdot P(x|z_k=1)}{\sum_{j=1}^K p(z_j=1) \cdot P(x|z_j=1)} = \frac{\pi_k \mathcal{N}(\mu_k, \bar{z}_k)}{\sum_{j=1}^K \pi_j \mathcal{N}(\mu_j, \bar{z}_j)}$$

log likelihood:  $\rightarrow \ln p(x|\pi, \mu, \bar{z}) = \sum_n \ln \left\{ \sum_k \pi_k \mathcal{N}(\mu_k, \bar{z}_k) \right\}$

max likelihood  $\rightarrow$  no tiene solución cerrada  
 $\rightarrow$   $K!$  soluciones.

Para resolver esto utilizamos **Expectation Maximization**

Derivar llk

$$\partial_{\mu} \mathcal{L} = 0 \Rightarrow \mu_k^* = \frac{1}{N_k} \sum_n \gamma(z_{nk}) x_n \quad \textcircled{a} \text{ cont. de puntos efectivos en } k.$$

$$\partial_{\bar{z}} \mathcal{L} = 0 \Rightarrow \textcircled{b}$$

$$\partial_{\pi} \mathcal{L} = 0 \Rightarrow \textcircled{c}$$

$$\textcircled{b} \rightarrow \bar{z}^* = \frac{1}{N_k} \sum_n \gamma(z_{nk}) (x_n - \mu_k) (x_n - \mu_k)^t$$

$$\textcircled{c} \rightarrow \pi_k^* = N_k / N$$

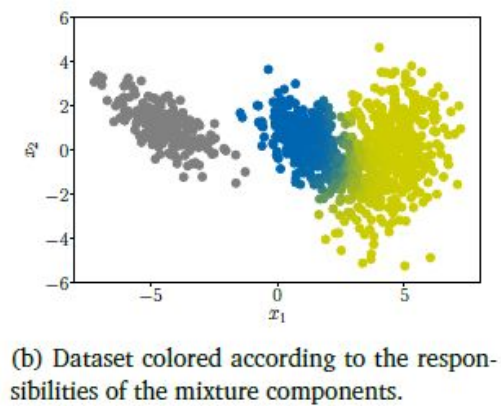
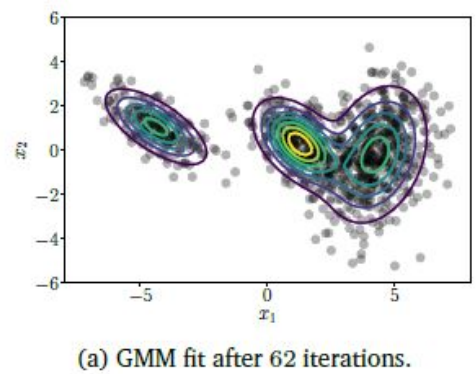
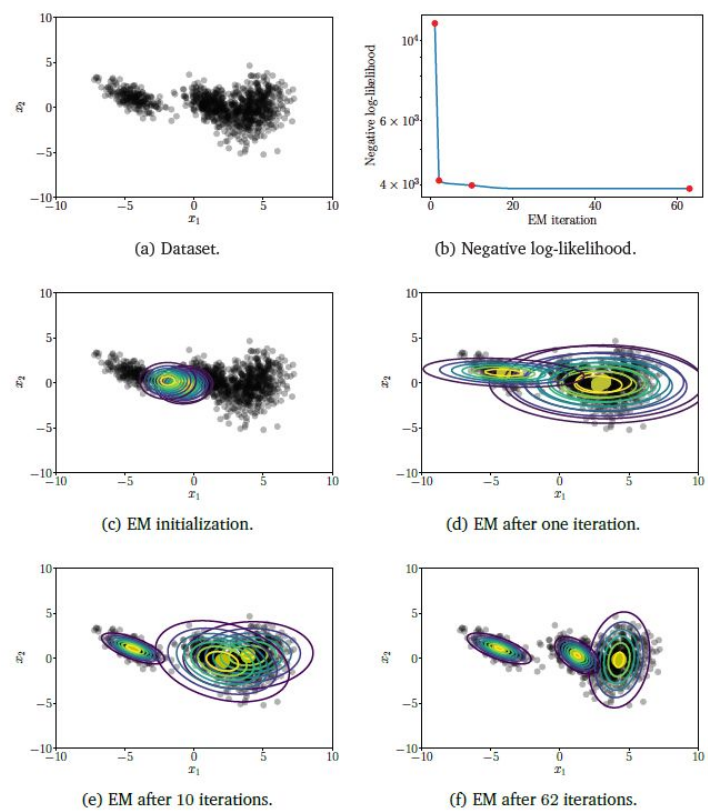
1- inicializa  $\mu_k, \bar{z}_k, \pi_k$

2- evalúa  $\gamma(z_{nk})$  (construye el "posterior")

3- actualizar los parámetros en  $\gamma(z)$

4- calculamos el llk

## Gaussian Mixture Models - Teoría



## Notebooks

## Bibliografía

- Mathematics for Machine Learning | Deisenroth, Faisal, Ong
- Pattern Recognition and Machine Learning | Bishop
- Gaussian Mixture Model | John McGonagle, Geoff Pilling, Andrei Dobre
- Expectation-Maximization Algorithms | Stanford CS229: Machine Learning
- First Principles of Computer Vision | Computer Science Department, School of Engineering and Applied Sciences, Columbia University